



UDC 669.14.018.41.001

## 極低温用鋼材研究の現状

吉 村 博 文\*

The Research Status of Cryogenic Steels

*Hirofumi YOSHIMURA*

### 1. 緒 言

昭和30年後半から今日に至るまでに、エネルギー源としてのメタン、エタン、エチレン、酸素等のガスの利用は飛躍的に増加してきた。また最近では、極低温工業におけるヘリウム等の利用も盛んに行われ、利用するガスの種類は日増しに増加し、使用温度もますます低温側へ拡大する傾向にある。これらのガスの貯蔵および運搬に際しては、低温液化して取り扱うのが便利であることから、ガス利用增加に伴つて、低温用容器の建造も盛んに行われ、また最近では、超電導現象などを利用した極低温工業の発達に伴つて、これらに使用される極低温用構造材料の需要もますます増加する傾向にある。

液体ガスとしてよく知られているものに液体天然ガス(LNG: 主成分はメタンガス)がある。わが国は、このLNGの導入によって、ガスによる新エネルギー時代を迎えたが、これを契機に低温用材料の分野において、既存材料の実用化と併行して新材料の開発も精力的にすすめられてきた。

既存鋼材に関しては、9Ni鋼などのようにフェライト鋼とSUS 304(18Cr-8Niオーステナイト系ステンレス鋼)などによりオーステナイト鋼の実用化が行われ、また新鋼種開発としては、前者の系統では5~6Ni鋼があり<sup>1,2)</sup>、後者ではNiの代わりに多量のMnを利用した高Mn鋼があげられる<sup>3)~6)</sup>。オーステナイト鋼としては、さらにアンバー(36Ni鋼)薄板によるメンブレン型低温容器も実用化され、低温用鋼材発達において重要なウェイトを占めている。

韌性の面からは、結晶構造が体心立方格子(BCC)を有するフェライト鋼よりも、面心立方格子(FCC)を有するオーステナイト鋼の方が有利である。したがつて、非鉄材料においても、結晶構造がオーステナイト鋼と同じFCCのAl-Mg合金(例えば5083など)が実用化されている。

最近新しいエネルギー源としての水素が注目されはじめ、この液体ガスの貯蔵、また核融合実験炉などへの超電導磁石の適用に関して、液体ヘリウムの利用がクローズアップされてきた。これらは絶体零度近傍で取り扱われるもので、これらの構造材として使われる極低温用材料が、最近特に注目されてきている。

極低温用材料としては、FCCを有する材料が主体となる。

本資料は、これら極低温用材料、特にオーステナイト鋼について、その研究開発の現状を記述するが、順序として、(1)低温と極低温の区分、(2)低温用鋼材開発の経緯について触れ、しかるのち、(3)極低温技術の動向とその鋼材開発の現状について記述したいと思う。

### 2. 低 温 と 極 低 温

一般に室温以下の温度の総称が低温である。しかし-100°Cを境にそれ以下から絶体零度までを超低温と分けて呼ぶこともあるし、また液体窒素(LN<sub>2</sub>)の-196°C付近を極低温と呼んでいることもあり、統一されていない点がある。そこで、低温とか極低温とかを論ずるまえに、記述の便宜上、これらを区別しておきたい。

すなわち、室温以下LN<sub>2</sub>温度の-196°C付近までを低温とよび、これ以下液体水素(LN<sub>2</sub>)および液体ヘリウム(LHe)温度の絶体零度近傍を極低温とよぶことにする。前者は、LNGをはじめLN<sub>2</sub>などのように、現在では容易に得ることのできる温度領域であり、液体ガスも比較的簡単な容器で取り扱われ、しかも物質の変化も比較的単純な現象が多い。一方後者のLHeなどの絶体零度近傍では、取り扱いも複雑で、物質も特異な現象を示し、例えはNb-Ti合金のように超電導などの極限現象をあらわす領域である。

以上低温および極低温について区別したが、おのおのの温度領域で使われる各種構造材料について表1に示す。なお極低温用材料に関しては、これから述べるよう

昭和56年4月8日受付 (Received Apr. 8, 1981) (依頼解説)

\* 新日本製鉄(株)光製鉄所 工博 (Hikari Works, Nippon Steel Corp., 3434 Shimada Hikari 743)

表 1 溫度と構造材料

工業分類	F	K	℃	各種液化ガスの常圧液化点(℃)	材料の分類
低温工業	-26.6	270-	-3	アンモニア(-33.4) プロパン(-42.1) プロピレン(-47.7)	アルミキルド鋼 (-46℃)
	-27.4	240-	-33		低Ni鋼
	-81.4	210-	-63	硫化水素(-61.0) ラドン(-65.0) 炭酸ガス(-78.5) アセチレン(-84.0) エタン(-88.6) エチレン(-103.5) キセノン(-108.0)	2.20~2.60%Ni (-60℃)
	-135.4	180-	-93		3.25~3.70%Ni (-101℃)
	-189.4	150-	-123		5~6%Ni 8.5~9.5%Ni
	-243.4	120-	-153	クリプトン(-151.7) メタン(-161.5)	18Cr-8Ni
	-297.4	90-	-183	酸素(-183.0)	アンバー合金
	-320.8	77-	-196	アルゴン(-185.8)	Al-Mg合金
	-351.4	60-	-213	窒素(-195.8)	(-196℃)
	-401.4	30-	-243	ネオン(-246.3)	18Cr-8Ni 25Cr-20Ni 25Mn-5Cr-1Ni
極低温工業	-419.4	20-	-253	重水素(-249.6)	Al-Mg合金
	-452.2	4-	-269	水素(-252.8)	Ti-Al合金
	-459.4	0	-273	ヘリウム(-268.9)	(-273℃)

に、開発段階にあるものも記述している。

### 3. 低温用鋼材開発の概要

極低温用鋼材について論ずるまえに、今までの LNGなどを対象とした低温用鋼材の開発の概要について触れてみる。

現在わが国で低温用鋼材として使用されているものは、9Ni鋼、オーステナイト系ステンレス鋼およびアンバーである<sup>2)</sup>。このように、わが国の低温用鋼材の発達は、まず既存鋼種の実用化からはじまった。

まず9Ni鋼は、現在市場化されている既存のフェライト鋼のうちでは、低温切り欠き靭性のもつともすぐれたものである。その後これより低Ni型の5~6Ni鋼が開発された<sup>1)2)</sup>が、これは9Ni鋼とほぼ同等の特性を有するものであつて、これよりもすぐれたものではなく、Ni節約型のものであつた。したがつて9Ni鋼よりも高い特性が要求されるものに対しては適用されない。また9Ni鋼も例えれば溶接部靭性は、LNGの-162℃で破壊靭性  $K_C$  値約  $400 \text{ kgf} \cdot \text{mm}^{-3/2}$  であり<sup>3)</sup>(図1)，低温用としては十分な特性を有するが、これ以上の低温靭性を要求される、いわゆる極低温域での使用に対しては適用

されない。フェライト鋼で9Ni鋼以上の特性を有するものとして13Ni-3Mo-0.2Ti鋼が研究されている<sup>4)</sup>が、実用には至っていない。そこで9Ni鋼よりも高い靭性が要求されるものについては、やはりオーステナイト鋼が適用される。

一般に実用オーステナイト鋼は、SUS 304のように、NiとCrをともに高くして耐食性向上を目的として実

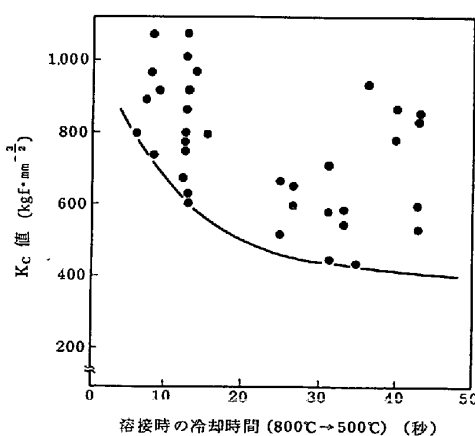


図 1 9Ni 鋼の溶接部の  $K_C$  値<sup>3)</sup>

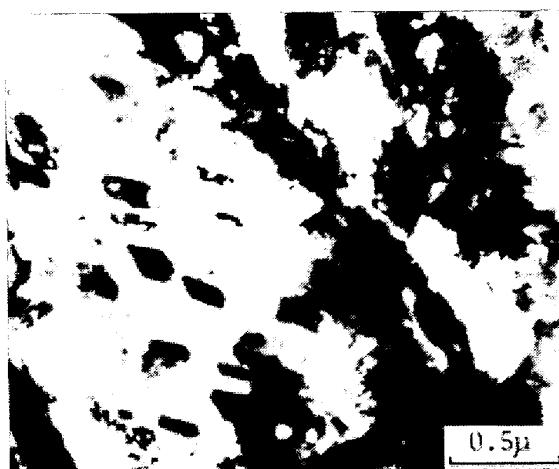


写真 1 Ni 系フェライト鋼のオーステナイト相の析出状態 (透過電顕組織)

用化されたものであるが、オーステナイト鋼は、結晶構造が FCC であるために、低温脆性を示すことなく完全延性というもう一つの特性を有している。すなわち、これら耐食用として開発されたオーステナイト鋼も、そのまま低温用として適用されているのである。

さきのフェライト鋼も、その金属組織を詳細に検討してみると、フェライト地に微細にオーステナイト相を分散析出させているものであり(写真 1)、この析出オーステナイト相が破壊の発生伝播を阻止していると考える<sup>1)10)</sup>ならば、これらフェライト鋼の韌性も、やはりオーステナイトの韌性を利用しているものと解釈できる。このようにオーステナイト鋼は、低温韌性の点で、きわめて有利な特性を有している。

低温用鋼材としては、韌性の他に常温から使用温度に至るまでの熱膨張率を考慮する必要がある。そこで熱膨張率の小さいアンバーが適用される場合もある。

低温用鋼に適用される溶接材料も、実用化されているものは主にオーステナイト鋼である。例えば 9Ni 鋼などのように鋼板がフェライト鋼でも、溶接材料は 70Ni 系のオーステナイト鋼である。これは、きわめて高い韌性を示すものであるが、なにしろ素材そのものの Ni 量が高く非常に高価なものであるために、その後これよりも Ni 量の低い 37~40Ni 系の溶接材料も開発された<sup>11)12)</sup>。

Ni 系のオーステナイト鋼に代わる低温用鋼として高 Mn オーステナイト鋼がある<sup>3)~6)</sup>。これは低温用はもちろんのこと、後述する極低温用としても使用可能であり注目されている。一例として、成分は表 2 に示すよう、25Mn-5Cr-1Ni-Nb 鋼(以下 25Mn 鋼と記す)である。主に Mn と Cr とによって完全オーステナイト相とし、Ni1% 添加で韌性の高位安定化を計り、Nb 添加によって組織の細粒化を行い、適正な強度をもたせると同時に、熱膨張率を従来のステンレス鋼の約半分にまでさげたものである。Mn25% で熱膨張率が最小となる(図 2)。これは、わが国が世界に先がけて開発したもの

表 2 25Mn 鋼の化学成分<sup>5)6)</sup>

鋼種	成 分 (%)								
	C	Si	Mn	P	S	Ni	Cr	Nb	N
25Mn-5Cr-1Ni	0.15	0.25	24.50	0.026	0.005	1.09	5.08	0.050	0.110

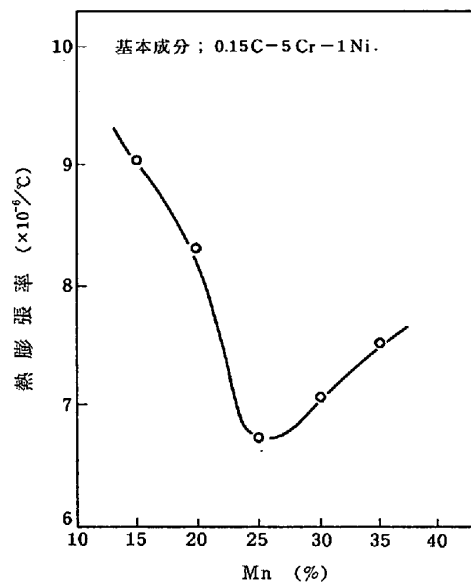


図 2 Mn 系オーステナイト鋼の Mn 含有量による熱膨張率の変化(室温~LN<sub>2</sub> 温度間の平均熱膨張率)<sup>3)</sup>。

であり、低熱膨張率を有するオーステナイト鋼という点で、アンバーと並んで注目に値する新鋼材である。国内のみならず、特に米国において注目されており<sup>13)</sup>、将来の低温用鋼として、また極低温用鋼としての期待は大きい。

#### 4. 極低温技術の動向

極低温化する目的の、その主なるものは、LH<sub>2</sub> などのように燃料として使うガスの貯蔵のためと、LHe のように、極低温における物質の特異性、例えば超電導などを得るために極低温冷媒を利用するための二つがある。これらの目的に使われる構造材料(主に容器材)には、いずれも極低温において所要の特性を有すればよいわけであるが、後者の冷媒として使われる場合には、極低温状態で磁界などによって構造材にかなりの荷重がかかる場合があり、前者の単なる貯蔵のみで使われる構造材の場合とやや異なる点がある。これら用途に応じた主なる例について記述する。

##### 4.1 液体ガスの貯蔵

化石燃料、LNG について大衆燃料として注目されつつあるのが水素である。原料も無尽蔵の水という利点がある。さらに電気などと異なりエネルギーとしての貯蔵が容易である。

この大量貯蔵は LH<sub>2</sub> としてタンクに貯蔵する方法が

とられ、 $-253^{\circ}\text{C}$  (20K) の極低温となつてゐる。米国では、すでに宇宙センターなどでロケット用燃料貯蔵に適用されている。水素の生産量は、米国では数百 t/d の規模に達しており、またわが国でも将来の新エネルギー源として注目されつつある。

冷媒として使われる LHe 貯蔵用としては、一般にタンク形式のものが多い。その容器用鋼材での設計応力などは、さきの  $\text{LH}_2$  の貯蔵の場合とほぼ同じ考え方で行われている。

冷媒に使われるヘリウムガスは、空气中にはきわめて少ないものであるが、カナダの北方ロッキー山脈近郊に発生する天然ガス中には、1% 近いヘリウムガスが含まれており、資源的にもかなり楽観視されている<sup>14)</sup>。ヘリウムは高価であるが可燃物ではなく、使用後、安全に回収して再利用できるため将来相当の利用が期待されている。

#### 4.2 超電導技術

##### (1) 超電導現象

1911 年オランダの K. ONNES が LHe を使って極低温における水銀の電気抵抗をはかり、突然抵抗がなくなる現象を発見した。これが超電導現象と呼ばれるものである。その後 Nb 合金などで同様の現象が見いだされ、最近では、この超電導の起る遷移温度が  $-253^{\circ}\text{C}$  (20K) 近いものまであらわれている<sup>15)</sup>。

この超電導線に直流を流すと、抵抗はほとんどないので損失はなく、短絡回路をつくれば電流はほとんど無限の寿命をもつて流れる。したがつて、例えば数 10 万ガウスの磁界をもつ磁石でも、消費電力はきわめてわずかで済むことになる。

##### (2) 超電導の応用

###### (i) 極低温送電

わが国の電力需要は、大都市に集中しており、しかもその伸び率も大きい。これらに伴い、送電線の大容量化が要望されている。従来は、鉄塔による架空送電方式が行われ、高圧化により送電容量の増加が計られているが、特に都市近郊では、誘導障害、ジュール熱損による電力損失などで、現状では、その能力の限界に達している。そこで登場するのが、極低温ケーブルによる大電力送電である<sup>16)</sup>。

まず LHe 温度における超電導現象を利用した Nb 系合金電線による送電は、電気抵抗 0 によつてきわめて効率のよい送電方法といえる。しかし大容量送電のためにには、数万 V 以上の送電圧が必要で、低コストの交直変換器が必要であること、さらに長距離の送電線を LHe で極低温に保つ技術の面で解決すべき点が多くあるため、実験段階であり、実用にはまだ時間がかかる。しかし将来技術として、その実用性は十分ある。

###### (ii) 超高速磁気浮上車

現在のような車輪を回転させて走る車両は、現在の新

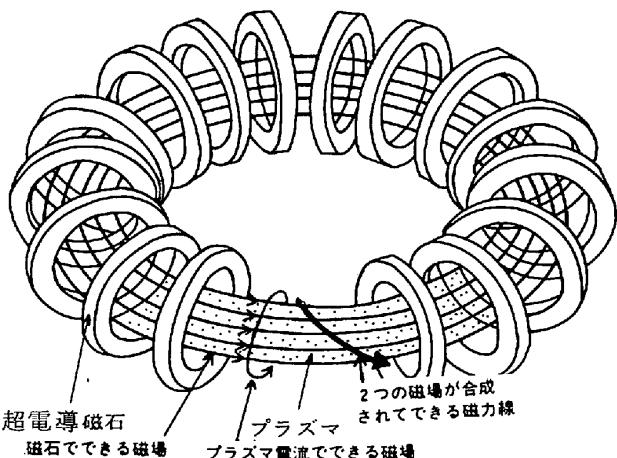


図 3 トーラス型臨界プラズマ実験装置の原理<sup>17)</sup>.

幹線の速度が限度であると考えられている。これ以上のものについては、車両を浮上させ、駆動にはリニヤーモーターを使って推進する方式がとられ、すでに実験車がつくられている。これには、極低温による超電導磁石を利用した磁気浮上方式が採用されている<sup>18)</sup>。

車両は、停止時には浮力がないため、はじめは車輪で助走するが、ある程度の速度になると、超電導磁石のつくる磁束で、地上面のコイル内に誘起された電流と超電導磁石との間に電磁力が働き、車両を浮上させる。

この超電導磁気浮上車は、将来の高速輸送方式としてもつとも期待されているものである。

###### (iii) 核融合実験炉

地球上に“ミ=太陽を”のスローガンで、現在核融合炉の開発が世界各国で精力的にすすめられている。その目的は、今までの化石エネルギーからの脱皮であり、永久エネルギーの発生源として注目されているものである。原料は海水中に含まれる重水素であり、その源は無尽蔵に近い。

核融合は、超高温によつて原子をプラズマ状態とし、原子核の互いの反発による逃散を閉じ込めるこよつて行われる。この閉じ込めに磁界を使う。

この方式には種々あるが、現在もつとも有望視されているものが、トーラス型、とくにトカマク型である<sup>17)</sup> (図 3)。ドーナツ型の超電導磁石による磁場と、プラズマ電流による磁場とによつて、プラズマを閉じ込めるのである。

米国をはじめわが国においても、日本原子力研究所において、この型式のプラズマ実験装置 (例えば JT-60) の開発が行われており、臨界プラズマ条件に挑んでいる。ここで使われる超電導磁石の極低温用鋼材は、使用時に極低温そして磁界による強力な荷重がかかるために、高強度、高靱性のものが要求される。この鋼材の開発が、現在もつとも注目されている材料の研究課題である。

## 5. 極低温用鋼材

### 5.1 要求特性

以上のように、極低温の利用分野は今後ますます拡大される傾向にあるが、これに伴つて極低温で使用される鋼材の需要もしだいに増加していくことが予想される。極低温構造物としては、単なる液体ガスの貯蔵容器あるいはパイプとして使われる場合と、超電導磁石のように磁界のかかる構造物として使われる場合の二とおりが考えられる。ここでは主に後者の場合に重点をおいて、鋼材に要求される特性について記述する。

#### (1) すぐれた韌性を有すること。

極低温領域で鋼材を構造材として用いるときに、もつとも重要な必要特性が極低温韌性である。例えば、フェライト鋼では、極低温まで温度が下がると、降伏点、引張強さは増大するが、伸び、絞りが低下し、破壊様式も脆性破壊となる可能性がでてくる。そこで FCC を有する高延性のオーステナイト鋼を使用する。代表的オーステナイト鋼 SUS 304 については、液体ガスの貯蔵容器の場合は、あまり問題ないが、強力な磁界がかかるような場合には、使用条件を十分検討する必要がある。

極低温構造物の構造安全評価法としては、簡単なシャルピー衝撃試験法<sup>5)6)18)</sup>の他に、弾塑性破壊力学にもとづく  $J_{IC}$  破壊韌性試験<sup>19)</sup>が行われ、これをもとに、 $K_{IC}$  値をもとめる方法がとられている。

一般に線形破壊力学にもとづく  $K_{IC}$  値は、平面歪み破壊条件の要求を満足するためかなりの大型試験片が必要とするが、極低温用構造物では、こまかい部材の性能評価をする場合もあり、また LHe などによる試験操作の複雑さから、極低温の破壊韌性試験においては、小型試験法が望まれる。それには、まず  $J_{IC}$  値を求め、これより  $K_{IC}$  値を求める方法がとられている。この方法は、 $J_{IC}$  値の精度、き裂発生点検出の妥当性、 $J_{IC}$  値と  $K_{IC}$  値との相関性などの点で今後さらに検討を加える必要があるが、今のところ、高延性材料の評価法として、妥当な方法であろう。

超電導磁石での構造材に要求される破壊韌性値は、LHe 温度で、 $K_{IC}$  値  $100\sim150 \text{ MPa}\cdot\text{m}^{1/2}$  以上\*が必要であるとされている<sup>20)</sup>。

#### (2) 高強度を有すること。

構造材、例えば超電導磁石の極低温容器、コイルの巻わく、フランジ、超電導電の極低温用パイプに使用される材料などでは、極低温において、構造応力の他に超電導線材に働く巨大な電磁力、また室温から極低温に冷却する際に生ずる熱歪みによる応力なども支える強度が必要である。このようなことから室温および極低温において強度が高いほど安全性そして経済性を高める。これ

らを考慮して、LHe 温度では耐力は少なくとも  $70 \text{ kgf}/\text{mm}^2$  以上が必要であるとされている<sup>20)</sup>。

#### (3) 非磁性であること。

構造材には、磁気的に非磁性であることが要求される。もし磁性を帯びると構造材自体に電磁力が働き、磁界に影響をおぼす。

#### (4) 熱膨張率が小さいこと。

構造材は室温と極低温の熱サイクルによつて膨張収縮で熱歪みを生じ、これより生ずる応力に耐えなければならぬ。また超電導電ケーブルなどには一定間隔にペローズを入れて、これを吸収させるように考えられている。そこで構造材には熱膨張率のできるだけ小さいものが要求される。

#### (5) 熱伝導率が小さいこと。

極低温をうるには、一般に LHe を使用している。しかし構造物が大型になつくると、LHe などの使用も増大すると同時に、構造材の熱伝導率が大きいと、その損失も多大である。したがつて構造材の熱伝導率は小さいほど望ましい。

以上の特性のほかに、材料の適用性として次のようなものがある。

#### (6) 極厚板への適用が可能のこと。

超電導磁石の構造材として 50~100 mm の極厚板材が使用される。したがつて板厚が厚く、特性的にも均一なものが要求される。また成形加工および熱処理による材質変化の少ないものでなければならない。

#### (7) 溶接部特性(含む健全性)が良好なこと。

He は極めてリークしやすい気体である。したがつて溶接部での韌性、強度はもちろんのこと健全性が極めて良好でなければならない。

### 5.2 オーステナイト鋼

#### (1) オーステナイト系ステンレス鋼

オーステナイト鋼といえば、まず SUS 304 を中心とするステンレス鋼が主流となつてくる。LHe などの単なる貯蔵用容器には、SUS 304 がそのまま使用される場合が多い。しかし核融合実験炉の超電導磁石に使用される LHe 用構造材では、さらに高強度のものが必要である。これについては、米国商務省、NBS(Dept. of commerce; National Bureau of Standard) を主流として、関係部門で盛んに研究が行われている<sup>20)21)</sup>。またわが国においても、日本原子力研究所において研究され、その結果、SUS 304 LN および 316 LN が考えられている<sup>22)</sup>。

これらに要求される具体的な特性は、前述のように、LHe 温度において、強度として耐力約  $70 \text{ kgf}/\text{mm}^2$ 、 $K_{IC}$  値  $100\sim150 \text{ MPa}\cdot\text{m}^{1/2}$  が必要であるとされている。通常の SUS 304 あるいは 316 では、まず耐力が低いなどの欠点があり、これらの鋼に (C+N) 量を増量して強化したもの<sup>23)</sup>(図 4) が取り上げられている。N によって強化された SUS 304 LN もしくは 316 LN は、

\*  $1 \text{ MPa} = 0.10192 \text{ kgf/mm}^2$  であり、 $100 \text{ MPa} \cdot \text{m}^{1/2} \approx 323 \text{ kgf/mm}^{2/3}$  となる。

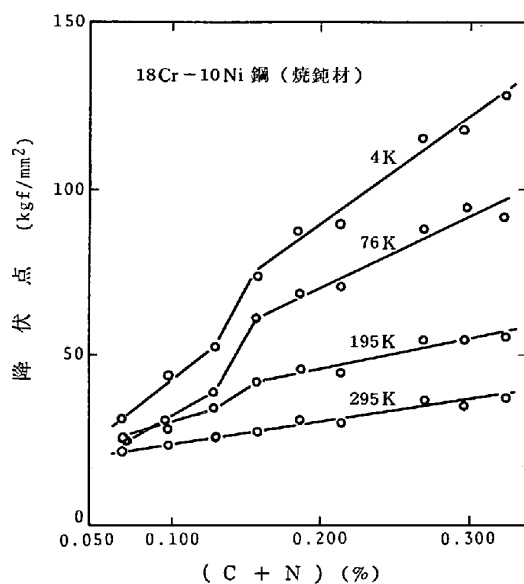


図 4 SUS 304 の降伏点におよぼす (C+N) 量の影響<sup>23)</sup>.

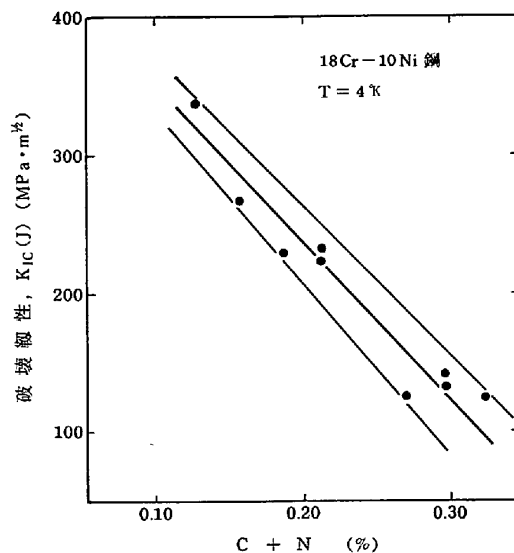


図 5 SUS 304 の L He 温度における  $K_{Ic}$  値におよぼす (C+N) 量の影響<sup>24)</sup>.

-269°C, (4 K)において、高い耐力および引張強さを有しており、構造設計上有利と考えられるが、一般にCあるいはN含有量が増すと破壊革性は低下する(図5)とともに、疲労におけるき裂伝播速度も早くなる<sup>24)</sup>。したがつて、上記の要求特性を満足するものとして、C≤0.03%, N0.08~0.18%を含むSUS 304 LNもしくは316 LNが今のところ適用されている。

破壊革性が問題になるのが溶接部である。溶接材料には、SUS 316 L系のものが適用されている。しかしながら、溶接金属に微小割れを生じたり、また多層盛によつて炭窒化物が析出して脆化をおこしたりすることがある<sup>25)</sup>(写真2)。これは溶接金属の健全性を損なうばかりでなく、延性が低下する。これを防止するには、溶接金

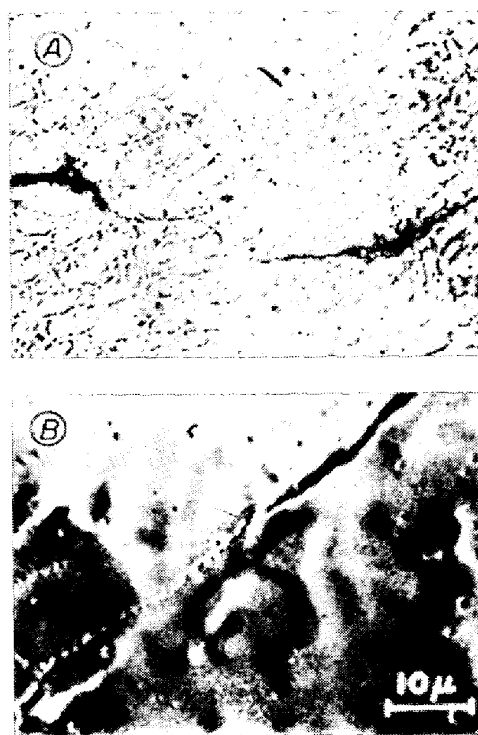


写真 2 316L 溶接金属にあらわされた微少割れ

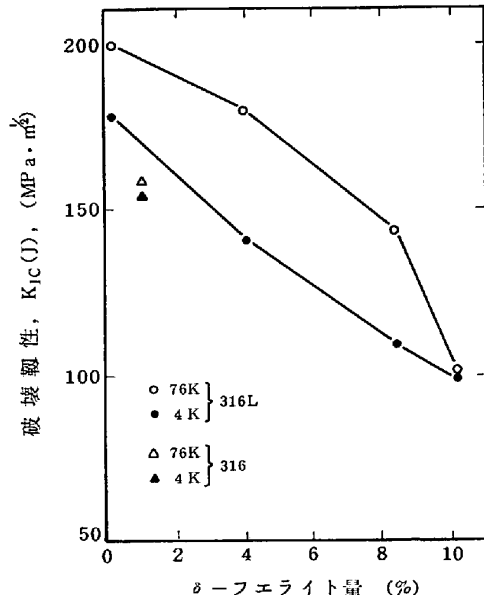


図 6 SUS 316L 溶接金属の  $K_{Ic}$  値におよぼす δ-フェライト量の影響<sup>26)</sup>.

属に適量のフェライトを含むべく調整しなければならない。ただフェライト量の増加によつて、また革性は低下する<sup>26)</sup>(図6)。またフェライトが存在すると、例え超電導磁石などに適用される場合には、磁界の影響がでてくるので、構造設計上に細心の注意を払う必要がある。

また、原子力関係装置をはじめ、大型で、かつ構造上精度の高いものが要求される構造物の溶接では、電子ビーム溶接法を適用して成功している例がある<sup>27)</sup>。電子ビーム溶接法は、非常に少ない溶接入熱量によつて極厚材の

溶接ができる、溶接による構造物の変形量も少ないという利点を有している。このことから、極低温用極厚材の溶接施工面で、電子ビーム溶接法は今後注目すべきものである。

以上のように、SUS 304 LN もしくは SUS 316 LN を主流とするオーステナイト系ステンレス鋼が、今のところ極低温用鋼材として有力な鋼材である。しかしながら、Cr, Ni を含むオーステナイト系ステンレス鋼は、もともと耐食鋼として開発されたものであり、これを極低温に転用したにすぎず、熱膨張率も高く、極低温適用を考えた場合、最適成分系になつてゐるかは、もう少し検討してみる必要があるように思われる。また SUS 304, SUS 316 系よりも、Cr 量、Ni 量の多い、例えば SUS 310, SUS 314 系の 25Cr-20Ni 鋼などは、オーステナイト相は安定であるが、経済的に有利でない。

このようなことから、より安く安定したオーステナイト相をうるには、どうすればよいかということになる。

## (2) 高 Mn オーステナイト鋼

以上のような問題を背景に登場してくるのが高 Mn オーステナイト鋼である。

25Mn-5Cr-1Ni 系オーステナイト鋼(表1参照)は、LHe 温度でも安定したオーステナイト相を有し、高強度、高韌性を示し、しかも非磁性である。これらの特性を表2に示す<sup>6)</sup>。また熱膨張率も小さく(図2参照)、SUS 304 の約半分、Al 合金の3分の1程度である。しかも熱電導度も SUS 304 並みである。このように極低温用鋼材としては、すぐれた特性を有している。ただ高 Mn 系オーステナイト鋼は、一般に機械加工性がやや劣るため、現在その改善研究が続けられており、さらに溶接性、耐食性などの検討もすすめられている<sup>28)</sup>。

高価な Ni の代わりに Mn を利用することによってオーステナイト化することは、上記のように特性的に有利であることのほかに、将来の Ni 資源の節約に備えて、海底などに無尽蔵に埋蔵しているといわれる Mn の有効利用の点からも大きな意義がある。

### 5.3 オーステナイト鋼の極低温における挙動

オーステナイト鋼の LHe 温度における引張および衝撃試験における挙動について、一例として 25Mn 鋼の結果を SUS 304 と比較しながら記述する<sup>6)</sup>。

25Mn 鋼の LHe 温度における荷重-変位曲線を図7に示す。まず弾性域の終わり近傍から、わずかの不連続性を示しながら降伏し、降伏点(ここでは 0.2% 耐力)は  $103.5 \text{ kgf/mm}^2$  と高い値を示す。そして降伏後はつ

表 3 25Mn 鋼の LHe 温度における強度と韌性<sup>6)</sup>

鋼種	0.2%耐力 (kgf/mm <sup>2</sup> )	引張強さ (kgf/mm <sup>2</sup> )	伸び (%)	シャルピー吸収エネルギー (kgf·m)		
				試験片	温度 (K)	エネルギー (kgf·m)
25Mn-5Cr-1Ni 鋼	103.5	183.3	31.4	サブサイズ <sup>☆</sup>	27	5.1

<sup>☆</sup>  $5 \times 10 \times 55 \text{ (mm)}$

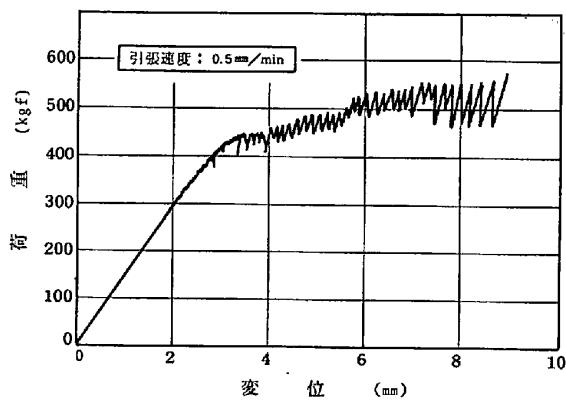


図 7 25Mn 鋼の LHe 温度における荷重-変位曲線<sup>6)</sup> (引張試験片形状: 直径 2mm の丸棒型)

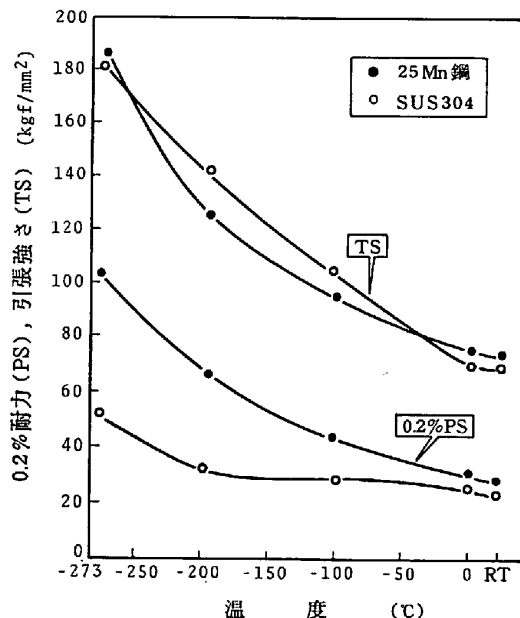


図 8 25Mn 鋼および SUS 304 の試験温度による強度変化<sup>6)</sup>。

きりとしたセレーションを示しながら比較的小な勾配で加工硬化する。同様の現象は、20Mn-10Ni-15Cr 鋼においても確認されている<sup>29)</sup>。

また 25Mn 鋼と SUS 304 の強度の温度依存性を図8に示す。

25Mn 鋼は、強度の温度依存性が大きく、LHe 温度ではさきに述べた要求値をはるかに上回り、しかも破断後においてもマルテンサイトは生成していない。

これに対して、SUS 304 では、極低温になつてもそれほど耐力は上昇せず、例えば、さきの要求値  $70 \text{ kgf/mm}^2$  にも達していない。しかし降伏後破断までは加工硬化し、引張強さは高い値を示し、変形中に多量のマルテンサイトを生ずる。

このように、オーステナイト鋼の極低温における引張变形挙動において注目すべきことは、高 Mn 鋼では、温度低下とともに、耐力が著しく増加し、極低温においてきわめて高い耐力を示すこと、そして降伏後セレーション

ンを示しながら破断するに至ることである。

まず高耐力を示すのは、高 Mn というよりも、やはり C, N による固溶硬化<sup>3)6)23)</sup>、そして結晶粒の細粒化<sup>3)</sup>によるものと考えられる。SUS 304 は、低 C 系であり、N もそれほど高くなく、また Nb などの細粒化元素も含まれていない。だから、304 系で高強度化を計るには、前述のように N を增量するのである<sup>23)</sup>。

セレーションについては、これまでに、いくつかの研究が行われている。それによると、発生の理由は、(1) マルテンサイト変態による、(2) 双晶変形による<sup>30)31)</sup>、(3) 双晶変形および  $\epsilon$  変態に関して、その生成と消滅による<sup>6)</sup>、そして(4) 変形による断熱的発熱による<sup>32)</sup> - などが考えられている。

25Mn 鋼では、引張変形後もマルテンサイトの変態は認められていないので、(1)によるものではない。(2) および(3)については、互いに関連するものであり、積層欠陥エネルギーの低い鋼においては、これらが関与していると推察される。(4)の、変形による断熱的発熱によるとする考えは、たしかに変形と発熱は同時に起こるものと考えられるが、考え方方に少し無理があるように思われる。これらのいずれかが主因かは、もつとよく検討してみる必要があるが、仮に(4)によるとしても、(2)もしくは(3)は、付隨的に関与するものと考えられる。

両鋼種の韌性の温度依存性を図 9 に示す。

25Mn 鋼では、温度低下にしたがつて強度が上がるのでも韌性は低下する。もとの結晶粒径が小さく、格子欠陥としての結晶粒界が多く存在すれば、それだけ韌性に対して不利である。しかしながら、LHe 温度でシャルピー衝撃吸収エネルギー(vE)が 10 kg·m 以上横膨出量 (L·E)

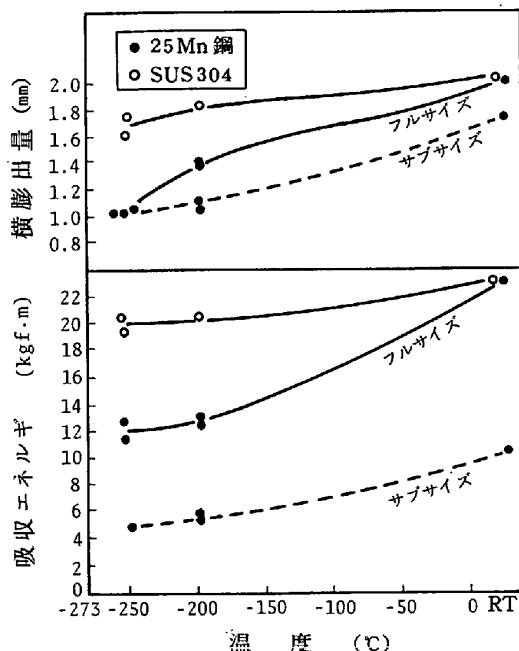


図 9 25Mn 鋼および SUS 304 の試験温度による衝撃特性。

1.0 mm 以上を示せば、構造物としての使用に対する特性値としては十分である。

SUS 304 は耐力が低いだけ 韌性は高い。強度と韌性とは反比例の関係があるので、例えさきに述べた SUS 304 LN などは、その分だけ韌性は低下する。

## 6. む す び

最近核融合実験炉などに使われる超電導磁石の開発が盛んに行われるようになってきた。これにともないその構造材に使われる極低温用鋼材の需要が高まってきた。このような背景のもとに、そのベースとなる今までの低温用鋼材開発の経緯を述べ、かかるのち極低温用鋼材として既存のオーステナイト系ステンレス鋼および開発鋼の高 Mn オーステナイト鋼について、その主なる特性を述べてきた。

極低温用鋼材に関しては、いまだ実験データも少なく、開発的要素を多分にもつていて、今後さらに極低温用鋼材の実用化と、極低温における特異現象の解明に関する研究が強力にすすめられることを期待する。

## 文 献

- 長島晋一, 大岡耕之, 関野昌蔵, 三村 宏, 藤島敏行, 矢野清之助, 桜井 浩: 鉄と鋼, 58 (1972), p. 128 および矢野清之助, 桜井 浩, 三村 宏, 脇田信雄, 小沢 勉, 青木宏一: 鉄と鋼, 59(1973), p. 752
- F. E. HAVENS and D. A. SARNO: ASME Publication 70-Pet-18 (1970)
- 吉村博文, 山田直臣, 矢田 浩, 本間弘之, 伊藤悌二: 鉄と鋼, 61(1975), p. 321
- 吉村博文, 清水高治, 山田直臣: 鉄と鋼, 65 (1979), p. 1434
- 吉村博文, 清水高治, 矢田 浩, 北島一徳: 鉄と鋼, 65(1979), p. 681
- 吉村博文, 清水高治, 北島一徳: 鉄と鋼, 67 (1981), p. 2010
- 小川泰之輔, 坂本光弘, 豊増清明, 大山光男, 深川宗光, 雜賀喜規: 鉄と鋼, 64(1978), p. 135
- H. TAKASHIMA, H. YOSHIMURA, and K. TANAKA: Fatigue Properties and Fracture Toughness of 9% and 51/2% Nickel Steels", IIW Doc. XIII (1974)
- 津谷和男, 石川圭介, 吉林英一: 極低温構造材料に関する研究, 金属材料技術研究所研究報告集(昭和 55 年版), p. 42
- C. W. MARSHALL, R. F. HEHemann, and A. R. TROIANO: Trans. ASM, 55 (1962), p. 135
- H. YOSHIMURA, K. KAKU, I. KIMURA, T. MUTA, K. FUJIWARA, and M. KUWAHARA: Trans JWS, 1 (1970), p. 72
- 西 武央, 堀井行彦, 鈴木克己: 溶接学会誌, 49 (1980), p. 319
- J. W. MORRIS Jr, S. K. HWANG, K. A. YUSH-

- CHENKO, V. I. BELOTZERKOVETZ, and O. G. KVASNEVSKI: Fe-Mn Alloys For Cryogenic Use; A Brief Survey of Current Research, Advances in Cryogenic Engineering, ed. by K. D. TIMMERHAUS, R. P. REED, and A. F. CLARK: 24 (1978), p. 91 [Plenum Press, New York]
- 14) 竹中康雄: 鉄道技術研究資料, 27(1970), p. 396  
 15) 相山義道: 電気評論, (1976) 12, p. 1015  
 16) 竹中康雄: 新金属工業, (1973年3月), p. 8  
 17) 日本原子力研究所: 核融合研究開発の現状(1980)  
 18) S. JIN, W. A. HORWOOD, J. W. MORRIS, Jr., and V. F. ZACKAY: A Simple Method for Charpy Impact Testing Below 6K; Advances in Cryogenic Engineering, 19 (1974), p. 373  
 19) J. R. RICE: J. Appl. Mech. (Trans. ASME), 35 (1968), p. 379  
 20) 例えれば Technical Reports. Materials Studies For Magnetic Fusion Energy Applications At Low Temperatures, ed. by R. P. REED, Fracture and Deformation Division, National Bureau of Standards. Boulder. Co. (June, 1980)  
 21) 例えば NBS-DOE Workshop Materials at Low Temperatures. (Oct. 1980)  
 22) K. YOSHIDA, E. TADA, K. KOIZUMI, T. ANDO, S. SHIMAMOTO, N. TADA, T. MORI, and K. YASUKOUCHI: NBS-DOE Workshop. "Materials at Low Temperatures" (Oct. 7-9. 1980). Vila Colorado  
 23) R. L. TOBLER and R. P. REED: Interstitial Carbon and Nitrogen Effects on the Tensile and Fracture Parameters of AISI 304 Stainless Steels. 文献 20) と同じ  
 24) D. T. REED and R. P. REED: Toughness, Fatigue Crack Growth, and Tensile Properties of Three Nitrogen-Strengthened Stainless Steels at Cryogenic Temperatures, The Metal Science of Stainless Steels, ed. by E. W. COLLINGS and H. W. KING (Proceedings of a Symposium, March, 1978)  
 25) C. E. WITHERALL: Welding Journal (1980), p. 326s  
 26) H. I. McHENRY and R. P. REED: Nuclear Engineering and Design, 58 (1980), p. 219  
 27) 喜多久直, 和田辰治, 中崎隆光, 坏洋二, 加沢義彰, 本島修, 飯吉厚夫, 宇尾光治: 溶接学会誌, 50(1981) 3, p. 296  
 28) 例えば, 植木弘毅, 吉村博文: 鉄と鋼, 67 (1981) 2 (第101回講演大会討論会講演概要), p. 105  
 29) 石川圭介, 丸山典夫: 鉄と鋼, 65(1979), p. 219  
 30) 福島英二, 後藤昭: 日本国金属学会誌, 37 (1975), p. 182  
 31) T. H. BLEWITT, R. R. COLTMAN, and J. K. REDMAN: J. Appl. Phys., 28 (1957), p. 651  
 32) Z. S. BASINSKI: Proceedings, Royal Society of London, Series A, 240 (1957), p. 229